

К. К. ЛИХАРЕВ

## К ТЕОРИИ ДЖОЗЕФСОНОВСКОГО ДЕТЕКТИРОВАНИЯ

Рассмотрено воздействие гармонического внешнего сигнала на систему, состоящую из резонатора с включенным в него слабым контактом двух сверхпроводников, через который могут протекать как джозефсоновский, так и обычный ток. Методом медленно меняющихся амплитуд вычислены параметры колебаний в системе и вольт-амперная характеристика контакта и их изменение при подаче внешнего сигнала. Проанализирован вопрос о чувствительности и инерционности такого детектирующего устройства.

### Введение

Известно, что слабые контакты двух сверхпроводников могут быть весьма чувствительными к электромагнитным колебаниям (волнам) [1—5]. Это позволяет использовать такие контакты в качестве детекторов вплоть до субмиллиметрового диапазона [4]. Одно из наиболее перспективных в этом отношении явлений — появление при подаче внешнего гармонического сигнала на вольт-амперной характеристике (ВАХ) контакта «ступенек» тока на напряжениях  $V_n$ . Эти напряжения связаны с частотой падающей волны  $\omega$  соотношением Джозефсона [1]:

$$V_n = n \frac{\hbar}{2e} \omega. \quad (1)$$

Здесь  $n$  — целое число,  $e$  — заряд электрона,  $\hbar/2\pi$  — постоянная Планка. Экспериментально обнаружено [3, 5], что ступеньки тока имеют наибольшую величину, если частота  $\omega$  близка к одной из резонансных частот электродинамической системы, связанной с контактом.

В данной работе рассмотрено воздействие гармонического внешнего сигнала на систему, состоящую из резонатора с включенным в него слабым контактом. При этом сделаны следующие допущения.

Контакт имеет достаточно малые размеры, так что для него на определенном типе колебаний выполнено условие квазистационарности<sup>1</sup>.

<sup>1</sup> Это условие выполняется как для точечных контактов, так и для туннельных переходов малой длины  $l \left( l \ll \lambda_\omega = 2\pi \frac{c}{\omega} \right)$ .

В этом случае контакт можно описывать полным током  $I(t)$ , напряжением  $V(t)$  и единой разностью фаз сверхпроводников

$$\varphi_c(t) = \frac{2e}{\hbar} \int V dt. \quad (2)$$

Ток через контакт состоит из тока куперовских пар  $I_c$ , который подчиняется уравнению Джозефсона в простейшей форме [1, 6]:

$$I_c(t) = I_0 \sin \varphi_c \quad (3)$$

и дополнительного тока  $I_g$ , который является однозначной функцией напряжения  $V$ . При этом в величине  $I_0$  должно учитываться действие внешнего и собственного магнитных полей [7].

Внешний резонатор и емкость контакта образуют линейную резонансную систему, причем один из типов колебаний этой системы имеет при частоте  $\Omega \simeq \omega$  параллельный относительно контакта резонанс. Собственное затухание резонансной системы на частотах вблизи  $\Omega$ , которое обуславливается потерями в резонаторе, сверхпроводниках и контакте, достаточно мало:  $h = \frac{\Omega}{2Q}$ ,  $Q \gg 1$ .

Нелинейность, вносимая в систему током  $I$ , достаточно мала. Это требование сводится к неравенству

$$\alpha \equiv \frac{\rho I_0}{V_0} \ll 1, \quad (4)$$

где  $\rho$  — волновое сопротивление системы относительно контакта.

### Укороченные уравнения

Если выписанные условия выполнены, то колебательная система на частотах  $\omega \simeq \Omega$  близка к линейной и консервативной. В этом случае напряжение на контакте  $V(t)$  может быть представлено в виде

$$V(t) = V_0 + A \cos \Phi, \quad \Phi = \omega t + \varphi,$$

$$V_0 \simeq V_1 \equiv \frac{\hbar}{2e} \omega,$$

где величины  $V_0$ ,  $A$  и  $\varphi$  являются медленными функциями времени:

$$\frac{d}{dt} [V_0, A, A_\varphi] \ll \omega V_0. \quad (5)$$

При этом будут справедливы (см., например, [8]) следующие укороченные уравнения:

$$\begin{aligned} \frac{dA}{dt} + hA + \frac{\rho\Omega}{2} [I^{(c)} + I_{\sim} \cos \psi] &= 0, \\ A \frac{d\varphi}{dt} + (\omega - \Omega) A - \frac{\rho\Omega}{2} [I^{(s)} + I_{\sim} \sin \psi] &= 0, \\ t_0 \frac{dV_0}{dt} + V_0 + R_0 [+I^{(0)} - I_{=} + I_g(V_0)] &= 0. \end{aligned} \quad (6)$$

Здесь внешнее воздействие приведено к току  $I_{\text{вн}} = I_{\sim} \cos(\omega t + \varphi_{\text{вн}})$ ,  $\psi = \varphi_{\text{вн}} - \varphi$ . Величины  $I_{=}$ ,  $R_0$  и  $t_0 = R_0 C_0$  характеризуют цепь задания

смещения на контакт, причем емкость  $C_0$  больше или равна собственной емкости контакта  $C_k$ . В уравнения (9) входят, кроме того, компоненты тока  $I_c$

$$I_{(s)}^{(c)} = \langle I_c \left\{ \begin{array}{l} \cos \Phi \\ \sin \Phi \end{array} \right\} \rangle, \quad I^{(0)} = \langle I_c \rangle, \quad (7)$$

где  $\langle \dots \rangle$  означает усреднение по  $\Phi$  за период  $2\pi$ . При простой зависимости (3) сверхпроводящего тока интегралы (7) вычисляются точно:

$$I_{(s)}^{(c)} = I_0 \left\{ \begin{array}{l} \sin \theta (J_0 + J_2) \\ -\cos \theta (J_0 - J_2) \end{array} \right\}, \quad (8)$$

$$I^{(0)} = -I_0 \sin \theta J_1.$$

Здесь  $J_V$  — функции Бесселя первого рода от аргумента  $a = \frac{A}{2V_0}$ , а  $\theta = \varphi - \varphi_0$ , где

$$\varphi_0 = \frac{2e}{\hbar} \int (V_0 - V_1) dt. \quad (9)$$

Выражения (6), (8), (9) образуют полную систему уравнений относительно величин  $A$ ,  $V_0$ ,  $\varphi$ ,  $\varphi_0$ <sup>1</sup>. Прежде чем приступить к их анализу, перейдем к медленному времени  $\tau = \frac{\Omega t}{2}$  и новым обозначениям постоянного напряжения, расстройки и амплитуды внешней силы

$$v = \frac{V}{V_1}, \quad \Delta = 2 \frac{\omega - \Omega}{\Omega}, \quad f = \alpha \frac{I_c}{I_0}.$$

В новых обозначениях запишем (точкой обозначено дифференцирование по  $\tau$ ):

$$\begin{aligned} \dot{a} + \frac{1}{Q} a + \alpha (J_0 + J_2) \sin \theta + f \cos \psi &= 0, \\ \alpha \dot{\varphi} + \Delta a + \alpha (J_0 - J_2) \cos \theta + f \sin \psi &= 0, \\ \frac{1}{\lambda_0} \dot{v} + v + \frac{R_0}{V_1} (I_- - I_g - I_0 J_1 \sin \theta) &= 0, \\ \dot{\varphi}_0 &= 2(v - 1). \end{aligned} \quad (10)$$

Здесь параметр  $\lambda_0 = \frac{2}{\Omega t_0}$  характеризует скорость релаксации цепи смещения.

### Автономная генерация

Рассмотрим вначале режим автономной джозефсоновской генерации как фон, на котором происходит детектирование. Полагая  $f=0$ , получаем из уравнений (10) следующие результаты.

<sup>1</sup> Из условий применимости (5) укороченных уравнений (6) с учетом (8) непосредственно следует неравенство (4).

1. В стационарном режиме ( $\frac{d}{d\tau} = 0$ ) уравнения (10) разделяются. Для амплитуды колебаний  $a_0$  и фазы  $\theta_0$  имеем два уравнения

$$a_0 + \alpha Q (J_0 + J_2) \sin \theta_0 = 0, \quad (11)$$

$$\frac{\Delta}{\alpha} a_0 + (J_0 - J_2) \cos \theta_0 = 0.$$

Зависимость амплитуды от расстройки  $\Delta$  (которая определяется отклонением напряжения  $V_0$  от резонансного значения  $V_\Omega = \frac{\hbar}{2e} \Omega$ ) изображена на рис. 1, а. Поскольку постоянная составляющая джозефсоновского тока определяется уравнением (8), можно построить и ВАХ кон-

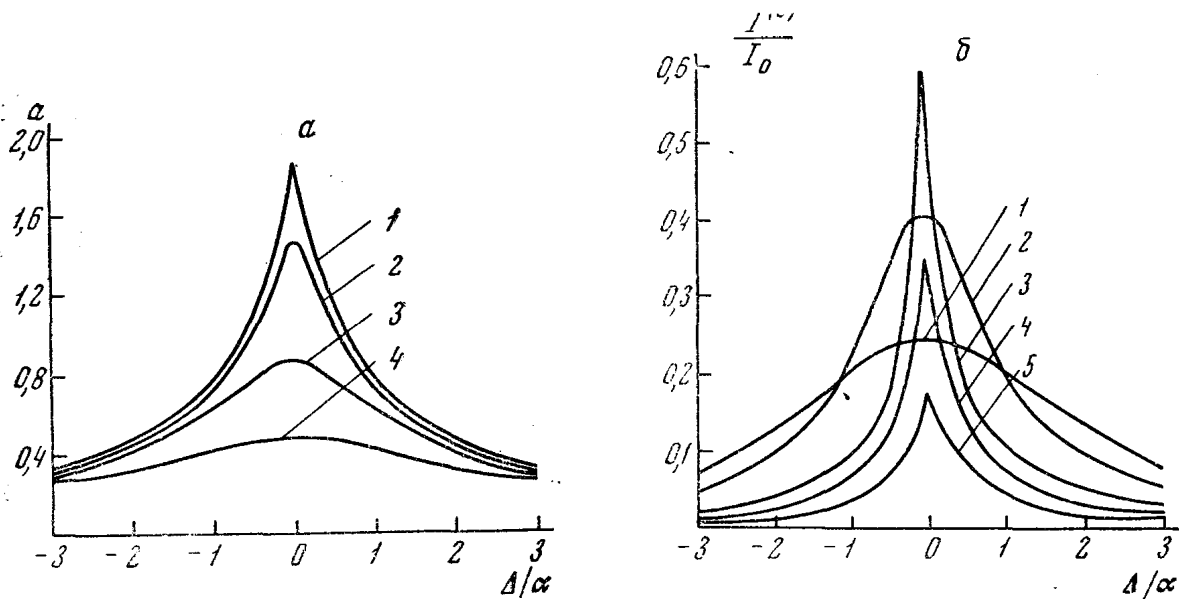
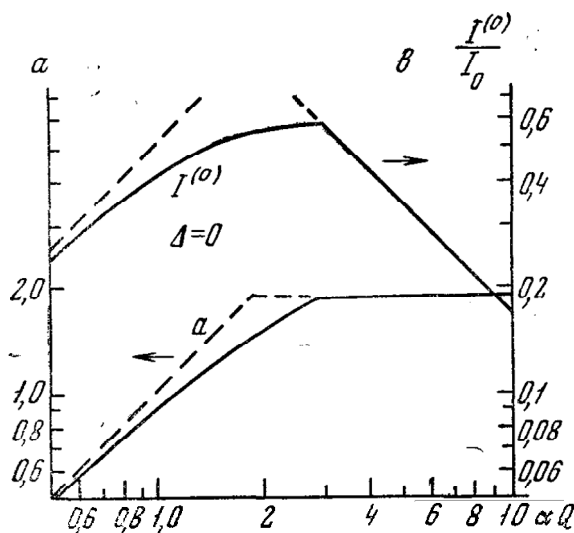


Рис. 1. Зависимость амплитуды колебаний (а, б) и постоянного тока (в, в) при автономной генерации от расстройки (а, б) и параметра  $\alpha Q$  (в). Пунктиром показаны зависимости, даваемые формулами (13)–(14). а —  $\alpha Q$ : 1 —  $\infty$ , 2 — 2, 3 — 1, 4 — 0,5; б —  $\alpha Q$ : 1 — 0,5, 2 — 1, 3 — 2,92; 4 — 5, 5 — 10



такта:  $I^{(0)} + I_g = F(V_0)$ . Кривые  $I^{(0)}$  ( $V_0$ ) имеют вид резонансного выброса (рис. 1, б). На рис. 1, в показана зависимость максимального (по  $\Delta$ ) тока  $I^{(0)}$  от параметра  $\alpha Q$ . Эта кривая, как впервые показал И. О. Кулик [9], имеет максимум

$$I_{\max}^0 = I_0 J_1(a_1) \approx 0,58 I_0$$

$$\text{при } \alpha Q = \frac{a_1^2}{2J_1(a_1)} \approx 2,92.$$

Поскольку  $I^0 V_0$  есть полная энергия джозефсоновской генерации  $P_2$ , запишем  $(P_2)_{\max} \approx 0,58 I_0 V_0$ .

Эти результаты совпадают с результатами Вертхамера и Шапиро [10].

Уравнение (10) в стационарном случае является просто уравнением нагрузочной прямой (рис. 2, а):

$$F(V_0) \equiv I^{(0)} + I_g = I_- - \frac{V_0}{R_0}.$$

2. С помощью динамических уравнений (10) можно обычным методом [8] исследовать устойчивость генерации. Результатом такого рас-

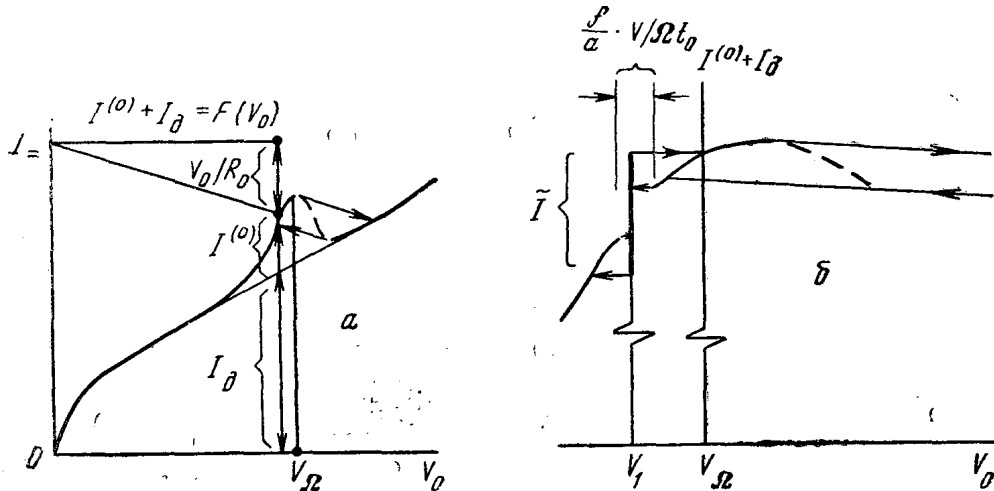


Рис. 2. ВАХ контакта в автономном случае (а) и при подаче внешнего сигнала на частоте  $\omega < \Omega$  (б)

чета являются три условия, совместное выполнение которых необходимо и достаточно для устойчивости стационарного режима.

Первое из них выполняется всегда. Второе совпадает с обычным «геометрическим» критерием устойчивости (рис. 2):

$$\frac{d}{dV_0} (I^{(0)} + I_g) > -\frac{1}{R_0}.$$

Это условие всегда выполняется на левом склоне резонансного пика ( $\Delta < 0$ ). Наконец, третье условие устойчивости<sup>1</sup> имеет сложный вид, но также всегда выполняется на левом склоне, который, таким образом, устойчив при всех значениях параметров.

3. Из формул (11) и рис. 1 хорошо видно, что характер процессов в системе существенно зависит от величины  $\alpha Q^2$ . Если  $\alpha Q \ll 1$ , то, как следует из (11),  $\alpha_0 \ll 1$  и

$$\alpha_0 = \frac{\alpha Q}{\sqrt{1 + \Delta^2 Q^2}}, \quad \theta_0 = -\frac{\pi}{2} - \arctg \Delta Q, \quad (12)$$

<sup>1</sup> Его нарушение приводит к сложным релаксационным процессам типа автомодуляции [8].

<sup>2</sup> В наиболее реальном случае, когда импеданс внешнего резонатора имеет индуктивный характер [5,11],  $\rho = \frac{1}{\Omega c_k}$  и  $\alpha$  имеет ясный физический смысл:  $\alpha = \frac{I_0}{\Omega c_k V_0} = \left(\frac{\omega_I}{\Omega}\right)^2$ , где  $\omega_I$  — частота плазменных колебаний контакта [12, 13].

мы имеем дело просто с вынужденными колебаниями под действием джозефсоновского тока, обратная реакция которых сводится лишь к появлению постоянной составляющей тока

$$I^{(0)} = -I_0 \cdot \frac{a_0}{2} \sin \theta_0 = I_0 \frac{\alpha Q}{2(1 + \Delta^2 Q^2)} \ll I_0. \quad (13)$$

Если  $\alpha Q \gg 1$ , то также легко найти асимптотические выражения для переменных

$$\alpha_0 = \alpha_1 \simeq 1,84, \quad \sin \theta_0 = -\frac{a_1^2}{2I_1(\alpha_1)} \cdot \frac{1}{\alpha Q} \simeq -2,92 \cdot \frac{1}{\alpha Q}, \quad I^{(0)} = \frac{I_0}{\alpha Q} \cdot \frac{a_1^2}{2}, \quad (14)$$

где  $a_1$  — первый корень функции  $I_1'(a)$ .

Из сравнения выражений для тока  $I^{(0)}$ , даваемых функциями (13) и (14), с точным (рис. 1, в), видно, что эти приближения хорошо работают везде, кроме достаточно малой окрестности точки  $\alpha Q = 1$ .

### Детектирование. Ступенька тока

Подача на систему внешнего сигнала частотой  $\omega$  приводит к появлению на ВАХ контакта строго вертикальной ступеньки тока (рис. 3).

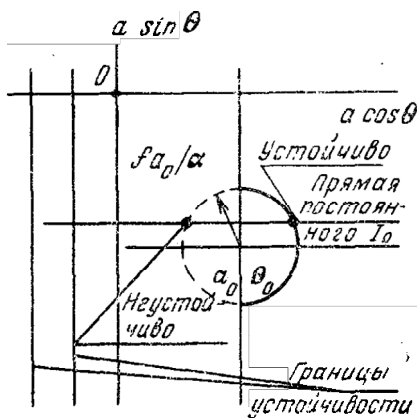


Рис. 3. Геометрическое место стационарных решений уравнений (15) на плоскости переменных  $a, \theta$  (случай  $\alpha Q \ll 1$ )

ордinateми  $[a, \theta]$  (рис. 3). Центр ее лежит в точке  $[a_0, \theta_0]$  (12), а радиус равен  $\frac{f a_0}{\alpha}$ . Любому значению тока в диапазоне

$$\left| I^{(0)} - I_0 \frac{\alpha Q}{2(1 + \Delta^2 Q^2)} \right| < \frac{I_0 f Q}{2 \sqrt{1 + \Delta^2 Q^2}} \quad (15)$$

соответствуют два возможных стационарных решения. Исследование их устойчивости с помощью динамических уравнений (10) показывает, что одна из границ устойчивости проходит через центр окружности и устойчиво только правое из двух решений<sup>1</sup>. Таким образом, ступенька тока будет иметь полный размер:

$$\tilde{I} = \frac{\alpha Q I_0}{\sqrt{1 + \Delta^2 Q^2}}. \quad (16)$$

<sup>1</sup> Анализ остальных трех условий устойчивости показывает, что при любых значениях параметров решения, лежащие на правой полуокружности (рис. 3), устойчивы, если  $\Delta < 0$ , т. е. ступенька расположена на левом склоне резонансного пика.

При  $\alpha Q \gg 1$ ,  $f \ll 1$ . В этом случае решение на плоскости  $[a, \theta]$  располагаются на эллипсе с центром в точке с координатами (15), с осями, параллельными осям  $a \cos \theta$  и  $a \sin \theta$  и величинами полуосей

$$\frac{f}{\alpha} \cdot \frac{a_1}{2I_1''(a_1)} \approx 2,31 \frac{f}{\alpha} \text{ и } \frac{f}{\alpha} \cdot \frac{a_1^2}{2I_1(a_1)} \approx 2,91 \frac{f}{\alpha}. \text{ Правая половина этого}$$

эллипса, как и в случае  $\alpha \ll 1$ , устойчива, и полная величина ступеньки тока будет

$$\tilde{\gamma} = I_0 \frac{f}{\alpha} a_1 = a_1 I_{\sim} \approx 1,84 I_{\sim}. \quad (17)$$

Свяжем размеры ступеньки с величиной падающей мощности. Номинальная мощность источника сигнала равна

$$P = \frac{I_{\sim}^2}{8G_r} = \frac{1}{8\eta} \rho Q I_{\sim}^2,$$

где  $G_r$  — внутренняя проводимость эквивалентного генератора, а  $\eta \leq 1$  — часть потерь резонатора, вносимая этим генератором. Поэтому величина ступеньки:

$$\tilde{\gamma} = \sqrt{\frac{8\eta P}{\rho Q}} \begin{cases} \alpha Q / \sqrt{1 + \Delta^2 Q^2} & \text{при } \alpha Q \ll 1, \\ a_1 & \text{при } \alpha Q \gg 1. \end{cases} \quad (18)$$

Сравним эти значения с тем, которое получится при детектировании в нерезонансной системе. Предполагая, что контакт включен в длинную линию с волновым сопротивлением  $\rho_{\text{л}} \ll \frac{V_0}{I_0}$ , и используя равенства (2) и (3), получим

$$\tilde{\gamma} = I_0 \cdot \frac{\sqrt{8\rho_{\text{л}} P}}{V_0}. \quad (19)$$

Из сравнения выражений (18) и (19) с учетом обозначения (4) видно, что даже при равенстве волновых сопротивлений  $\rho$  и  $\rho_{\text{л}}$  ступенька в резонаторе примерно в  $\sqrt{Q}$  раз больше.

### ВАХ в окрестности ступеньки

Пусть постоянное напряжение на контакте не совпадает с положением ступеньки  $V_1$ . Это можно формально учесть, если положить  $\varphi_{\text{вн}} = \tilde{\omega} t$ , где  $\tilde{V} = \frac{\hbar}{2e} \tilde{\omega}$  есть расстояние до ступеньки.

Из уравнений (10) следует, что при  $f \ll \alpha$  величины  $a \cos \theta$  и  $a \sin \theta$  будут совершать синусоидальные колебания с частотой вокруг автономных значений. Поэтому величина  $V_0$  будет постоянна, если  $\tilde{\omega} t_0 \gg 1$ . Следовательно, уже на небольшом расстоянии от ступеньки ВАХ не изменяется при подаче внешнего сигнала. Однако на очень малых расстояниях ( $\tilde{\omega} t_0 \sim 1$ ) величина  $V_0$  также начинает совершать заметные колебания с частотой  $\tilde{\omega}$ . Это делает неустойчивой область ВАХ вблизи ступеньки, если  $R_0 \neq 0$ . Величина этой области:  $\tilde{V}_{\text{н}} \approx V_0 \frac{f/\alpha}{\Omega t_0} \ll V_0$ . Таким образом, при изменении тока смещения ВАХ в окрестности ступеньки обладает гистерезисным характером (рис. 2, б).

## Времена релаксации (инерционность детектора)

Важной характеристикой детектора является время релаксации  $t_0$ , в нашем случае — время установления стационарного соотношения между  $I^{(0)}$  и  $V_0$ . Это время можно получить из динамической системы уравнений (10), поскольку

$$t_p = \frac{2}{\Omega} \tau_p = \frac{2}{\Omega} \cdot \frac{1}{\min [Re(-\lambda_i)]},$$

где  $\lambda_i$  — корни характеристического уравнения 4-й степени системы (10), линеаризованной в окрестности стационарного решения. Анализ этого уравнения легко провести в наиболее реальном физическом случае достаточной инерционности цепи смещения:  $\lambda_0 Q \ll 1$ . При этом в качестве времени релаксации выступает большая из двух: постоянная величина цепи смещения  $t_0 = R_0 C_0$  или величина  $t_f$ . Последняя обратно пропорциональна амплитуде действующего сигнала и зависит от положения стационарной точки на ступеньке тока, стремясь к бесконечности на ее концах. В середине ступеньки:

$$t_f = \frac{2V_0}{R_0 I_0} \cdot \begin{cases} \frac{\sqrt{1 + \Delta^2 Q^2}}{\alpha Q} + 2 \frac{R_0}{\rho} \alpha Q \frac{\Delta Q}{(1 + \Delta^2 Q^2)^{3/2}} & \text{при } \alpha Q \ll 1, \\ \frac{1}{\alpha} & \text{при } \alpha Q \gg 1. \end{cases} \quad (20)$$

Из выражений (16), (17) и (20) следует, что при достаточно малом сигнале и  $\Delta Q \ll 1$  произведение величины ступеньки на время релаксации не зависит от величины сигнала и параметра  $\alpha Q$ :

$$\tilde{T} t_p = 2 \frac{V_0}{R_0 \Omega}.$$

### Некоторые оптимальные соотношения

Рассмотрим вопрос о минимальной обнаружимой мощности. Из формулы (18) видно, что если флуктуации в системе обуславливают минимальную величину  $\tilde{I}_{\min}$  обнаружимой ступеньки тока, причем  $\tilde{I}_{\min}$  не зависит от расстройки  $\Delta$  и добротности  $Q$ , то минимальное значение мощности достигается при  $\Delta = 0$ ,  $Q \approx \frac{1}{\alpha} = \frac{V_0}{\rho I_0}$ :

$$P_{\min} \approx \frac{1}{8\eta} \frac{V_0}{I_0} (\tilde{I}_{\min})^2.$$

Например, если основным источником флуктуаций является сопротивление смещения  $R_0$ , а  $t_0 \geq t_f$ , то

$$(\tilde{I}_{\min})^2 \approx \frac{4kT}{R_0 t_0},$$

где  $T$  — температура сопротивления. В этом случае

$$P_{\min} \cdot t_p \approx \frac{1}{2\eta} \cdot \frac{V_0}{I_0 R_0} kT. \quad (21)$$

Так для реальных значений  $V_0 = 2 \cdot 10^{-4} \text{ в}$  ( $\Omega = 2\pi \cdot 10^{11} \text{ сек}^{-1}$ ),  $I_0 = 10^{-8} \text{ а}$ ,  $R_0 = 10 \text{ ком}$ ,  $T = 300^\circ \text{ К}$  имеем  $P_{\min} t_p \sim 4 \cdot 10^{-21} \text{ вт} \cdot \text{сек}$ .



## Заключение

Основные характеристики резонансного джозефсоновского детектора хорошо поддаются расчету методом медленно меняющихся амплитуд. Единственным существенным ограничением на параметры системы является при этом условие (4)  $\alpha \ll 1$ . Однако данные, полученные при расчете на аналоговой машине Шапиро и Вертхамером [10], показывают, что наибольшее взаимодействие колебаний со слабым контактом происходит не при  $\alpha \rightarrow \infty$ , а при  $\alpha \simeq 1$ , т. е. в области, где укороченные уравнения по крайней мере качественно справедливы.

Внешнее монохроматическое излучение вызывает появление ступеньки тока на ВАХ контакта, причем она максимальна, если добротность системы  $Q \simeq \frac{1}{\alpha}$ .

Скорость релаксации не совпадает с диапазоном возможных принимаемых частот (как видно из (18), этот диапазон  $\Delta\omega \cong h$ ) и определяется в основном или инерционностью цепи смещения, или (при малом входном сигнале) величиной  $t_f$ .

Ограничение (21) на чувствительность детектора, накладываемое тепловыми шумами цепи смещения, ослабевает при увеличении внутреннего сопротивления источника  $R_0$ . Таким образом, при  $T \rightarrow 0$  (или  $R_0 \rightarrow \infty$ ) чувствительность детектора должна ограничиваться собственными флуктуациями контакта [14—16].

## ЛИТЕРАТУРА

1. Josephson B. D. Phys. Lett., **1**, 251, 1962.
2. Shapiro S. Phys. Rev. Lett., **11**, 80, 1963.
3. Лангенберг Д. и др. ТИИЭР, **54**, 126, 1966.
4. Grimes C. C. a. o. Phys. Rev. Lett., **17**, 431, 1966.
5. Краснополин И. Я., Хайкин М. С. Письма ЖЭТФ, **6**, 633, 1967.
6. Ларкин А. И., Овчинников Ю. И. ЖЭТФ, **51**, 1535, 1966.
7. Owen C. S., Scalapino D. J. Phys. Rev., **164**, 164, 1967.
8. Каплан А. Е. и др. Параметрические генераторы и делители частоты. М., «Советское Радио», 1966.
9. Кулик И. О. ЖТФ, **37**, 157, 1967.
10. Werthamer N. R., Shapiro S. Phys. Rev., **164**, 523, 1967.
11. Mc Cumber D. E. J. Appl. Phys., **39**, 297, 1968.
12. Josephson B. D. In Quantum Fluids, Amst., 1966, p. 174.
13. Dahm A. J. a. o. Phys. Rev. Lett., **20**, 853, 1968.
14. Иванченко Ю. М. ЖЭТФ, **52**, 1320, 1967; Письма ЖЭТФ, **6**, 879, 1967.
15. Ларкин А. И., Овчинников Ю. И. ЖЭТФ, **53**, 2159, 1967.
16. Fetter A. L., Stephen M. J. Phys. Rev., **168**, 475, 1968.

Поступила в редакцию  
12.3 1969 г.

Кафедра  
физики колебаний